

# Signalbeschreibung im Zeitbereich



**Signal:** Funktion, welche jedem Punkt der reellen Achse als Zeitstrahl einen reellen Wert zuweist

**System:** Funktion, welche ein Eingangs- in ein Ausgangssignal transformiert

(mittlere) normierte Signalleistung  $P$ :

$$P = \lim_{T \rightarrow \infty} \frac{1}{T} \int_{-T/2}^{T/2} |x(t)|^2 dt$$

(mittlere) normierte Signalenergie  $E$ :

$$E = \int_{-\infty}^{\infty} |x(t)|^2 dt \quad (\text{Energie} = \text{Leistung} \cdot \text{Zeit})$$

## Signalklassen

### Leistungssignale

- $0 < P < \infty$  bzw.  $E = \infty$
- zeitlich unbegrenzt ohne abklingende Amplitude
- periodische Signale sind Leistungssignale
  - für alle  $t$  gilt:  $x(t+T_0) = x(t)$ , wobei kleinstes  $T_0$  die Periode ist
  - Grundfrequenz:  $f_0 = \frac{1}{T_0}$
  - (mittlere) normierte Signalleistung:  $P = \frac{1}{T_0} \int_{t_0}^{t_0+T_0} x^2(t) dt$
  - Effektivwert bzw. RMS-Wert:  $X_{\text{RMS}} = \sqrt{P}$

bei cos- oder sin-förmigen Signal mit Amplitude  $A$  gilt:

$$P = \frac{A^2}{2}$$

$$X_{\text{RMS}} = \frac{A}{\sqrt{2}}$$

### Energiesignale

- $0 < E < \infty$  bzw.  $P = 0$
- zeitlich begrenzte Signale (z.B. Energieimpuls)
- zeitlich unbegrenzte Signale mit abklingender Amplitude (z.B. Ausschwingvorgänge)

### Komplexe Signale

- für  $t < 0$  gleich 0

### Komplexe Signale

- komplexwertig, d.h.  $x(t) = x_{\text{real}}(t) + j \cdot x_{\text{imag}}(t)$
- Umhüllende:  $|x(t)|$

### deterministische Signale

- können exakt vorhersagt und beschrieben werden
- fragen keine Informationen, sind aber wichtige Hilfssignale

### stochastische Signale

- Beschreibung nur mit stochastischen Größen
- fragen Informationen oder stellen Rauschen dar

analoge Signale zeitkont. wertkont.

↓ Abtastung

zeitdiskrete Signale zeitdiskr. wertkont.

↓ Quantisierung

digitale Signale zeitdiskr. wertdiskr.

## wichtige Signale

### unit step / heaviside

- distributive Ableitung:  $\frac{d}{dt} u(t) = \delta(t)$

Rechteck

$$u(t) = \begin{cases} 1 & t > 0 \\ 1/2 & t = 0 \\ 0 & t < 0 \end{cases}$$

Dreieck

$$\text{rect}(t) = \begin{cases} 1 & |t| < 1/2 \\ 0 & \text{sonst} \end{cases}$$

Dirac

$$\Lambda(t) = \begin{cases} 1-|t| & |t| < 1 \\ 0 & \text{sonst} \end{cases}$$

- Distribution, keine Funktion
- Darstellung als Pfeil, allenfalls mit «Gewicht»
- Normierungseigenschaft:  $\int_{-\infty}^{\infty} \delta(t) dt = 1$

$$\delta(t) \approx \begin{cases} \infty & t=0 \\ 0 & \text{sonst} \end{cases}$$

Exponentiel

$$x(t) = \begin{cases} e^{-t/\tau} & t > 0 \\ 0 & t < 0 \end{cases} = u(t)e^{-t/\tau}$$

Signum

- distributive Ableitung:  $\frac{d}{dt} \text{sgn}(t) = 2\delta(t)$

$$\text{sgn}(t) = \begin{cases} 1 & t > 0 \\ 0 & t = 0 \\ -1 & t < 0 \end{cases}$$

sinc

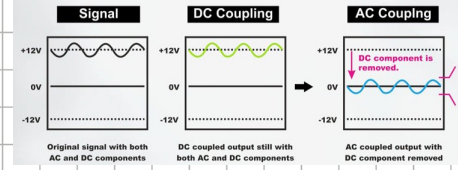
- Nullstellen bei Vielfachen von  $T_0 = 1/f_0$

$$\text{sinc}_{f_0}(t) = \begin{cases} \frac{\sin(\pi f_0 t)}{\pi f_0 t} & t \neq 0 \\ 1 & t = 0 \end{cases}$$

## Mittelwertbegriffe

linearer MW / Gleichanteil / DC-Wert t

$$X_0 = \lim_{T \rightarrow \infty} \frac{1}{T} \int_{-T/2}^{T/2} x(t) dt \approx \frac{1}{N T_s} \sum_{n=0}^{N-1} x(n T_s) T_s = \frac{1}{N} \sum_{n=0}^{N-1} x(n T_s)$$



quadratischer MW / mittl. norm. Leistung

$$X^2 = \lim_{T \rightarrow \infty} \frac{1}{T} \int_{-T/2}^{T/2} x^2(t) dt$$

Effektivwert / RMS

$$X_{\text{RMS}} = \sqrt{\lim_{T \rightarrow \infty} \frac{1}{T} \int_{-T/2}^{T/2} x^2(t) dt} = \sqrt{X^2}$$



## Abnahme d. hochfr. Harmonischen

$1/k$  falls unstetige (Sprun-)Stellen  
 $1/k^2$  falls stetige nicht diff'bare (knick-)Stellen

## Klirrfaktor (für DC-freies Signal)

$$k = \frac{X_{\text{rms}}\text{-Oberschwingungen}}{X_{\text{rms}}} = \frac{\sqrt{P - P_1}}{\sqrt{P}} = \frac{\sqrt{M_2^2 + M_3^2 + \dots}}{\sqrt{M_1^2 + M_2^2 + M_3^2 + \dots}}$$

idealer Verstärker:  $k = 0\%$

realer Verstärker  $k = 0.01\% - 1\%$  (ca.)

Oberschwingungen  $\rightarrow$  Maß für Abweichung von reinem Sinus / Cosinus

## Numerische Approximation d. Fourierkoef.

$$A_k = \frac{2}{T_0} \int_0^{T_0} s(t) \cos(2\pi k f_0 t) dt \approx \frac{2}{N} \sum_{n=0}^{N-1} s[n] \cos(2\pi \frac{kn}{N}) \quad k \geq 0$$

$$B_k = \frac{2}{T_0} \int_0^{T_0} s(t) \sin(2\pi k f_0 t) dt \approx \frac{2}{N} \sum_{n=0}^{N-1} s[n] \sin(2\pi \frac{kn}{N}) \quad k \geq 1$$

Matlab mit for:

```
N=1e4; % Abtastwerte pro Periode
s=[ones(1,N/2) (-1)*ones(1,N/2)]; % 1 Periode Rechtecksignal
k=1; % z.B. Berechnung von B1
B=0; % Initialisierung
for n = 0:N-1 % Approximation Integral
    B = B + s(n+1)*sin(2*pi*k*n/N);
end
B=(2/N)*B % Bildschirm-Ausgabe Bk-Koeffizient, B1=4/pi
```

Matlab mit 2 Vektoren:

```
N=1e4; % Abtastwerte pro Periode
s=[ones(1,N/2) (-1)*ones(1,N/2)]; % Signalvektor (1 Periode)
k=1; % z.B. Berechnung von B1
w=sin(2*pi*k*[0:N-1]/N); % [sin(2*pi*k*0/N)...sin(2*pi*k*(N-1)/N)]
summanden = s.*w; % elementweise Multiplikation Signal- mit sin-Vektor
B=(2/N)*sum(summanden) % Bildschirm-Ausgabe Bk-Koeffizient, B1=4/pi
```

$$c_k = \frac{1}{T_0} \int_0^{T_0} s(t) e^{-j 2\pi k f_0 t} dt \approx \frac{1}{N} \sum_{n=0}^{N-1} s[n] \exp(-j 2\pi \frac{kn}{N})$$

Matlab:

```
N=1e4; % Abtastwerte pro Periode
s=[ones(1,N/2) (-1)*ones(1,N/2)]; % Signalvektor (1 Periode)
k=1; % z.B. Berechnung von c1
w=exp(-j*2*pi*k*[0:N-1]/N);
c=(1/N)*sum(s.*w) % Bildschirm-Ausgabe ck-Koeffizient, c1=-(2/pi)*j
```

# Zusammenfassung FR

## Sinus-/Cosinus-Darstellung der Fourierreihe

$$s(t) = \frac{A_0}{2} + \sum_{k=1}^{\infty} A_k \cdot \cos(2\pi \cdot k f_0 \cdot t) + \sum_{k=1}^{\infty} B_k \cdot \sin(2\pi \cdot k f_0 \cdot t)$$

wobei

$$A_k = \frac{2}{T_0} \int_{t_0}^{t_0+T_0} s(t) \cdot \cos(2\pi \cdot k f_0 \cdot t) dt \quad \text{für } k \geq 0$$

$$B_k = \frac{2}{T_0} \int_{t_0}^{t_0+T_0} s(t) \cdot \sin(2\pi \cdot k f_0 \cdot t) dt \quad \text{für } k \geq 1$$

## Betrag-Phasen-Darstellung der Fourierreihe

$$s(t) = M_0 + \sum_{k=1}^{\infty} M_k \cdot \cos(2\pi \cdot k f_0 \cdot t + \varphi_k)$$

wobei

$$M_0 = \frac{A_0}{2} \quad \text{und} \quad M_k = \sqrt{A_k^2 + B_k^2}, \quad \varphi_k = -\arctan\left(\frac{B_k}{A_k}\right) \quad \text{für } k > 0$$

## Komplexe Darstellung der Fourierreihe

$$s(t) = \sum_{k=-\infty}^{\infty} c_k \cdot e^{j2\pi k f_0 t} \quad \text{wobei} \quad c_k = \frac{1}{T_0} \int_{t_0}^{t_0+T_0} s(t) \cdot e^{-j2\pi k f_0 t} dt$$

## Mittlere, normierte Leistung (Satz von Parseval):

$$P_n = \sum_{k=0}^{\infty} P_k = M_0^2 + \sum_{k=1}^{\infty} \frac{M_k^2}{2} = \left(\frac{A_0}{2}\right)^2 + \sum_{k=1}^{\infty} \frac{A_k^2 + B_k^2}{2} = \sum_{k=-\infty}^{\infty} |c_k|^2$$

## Umrechnung der Koeffizienten siehe [5, Kapitel 7.2.4, S. 285]

DC-Komponenten:  $c_0 = M_0 = A_0/2$

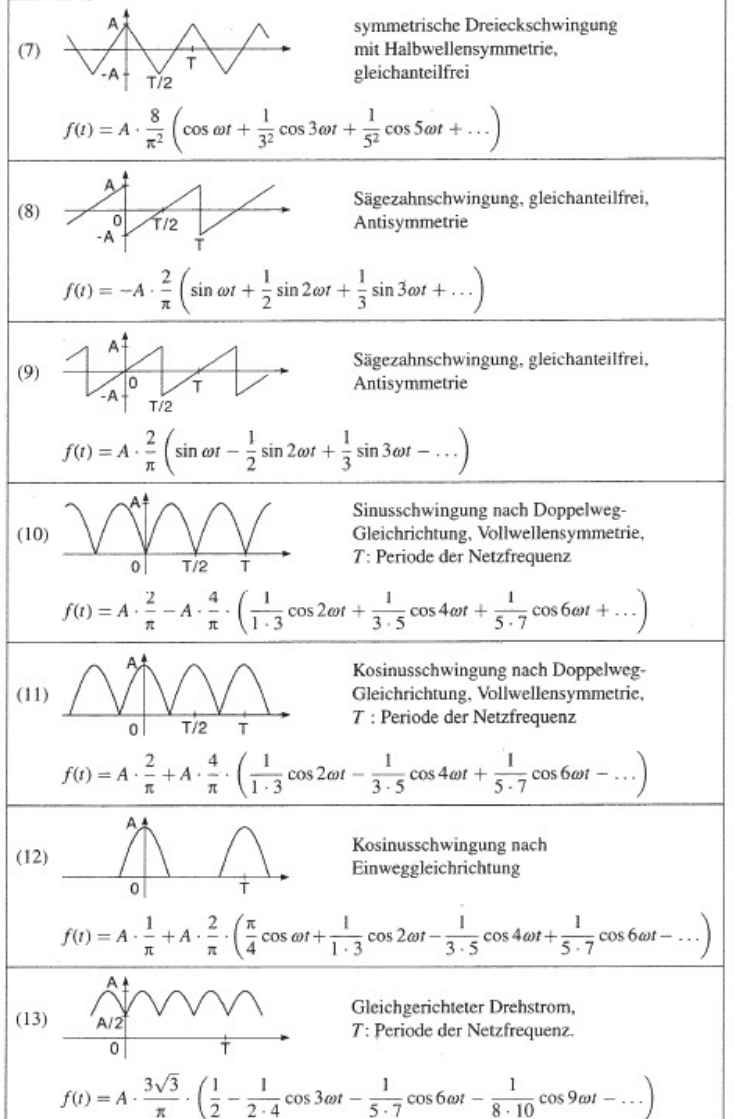
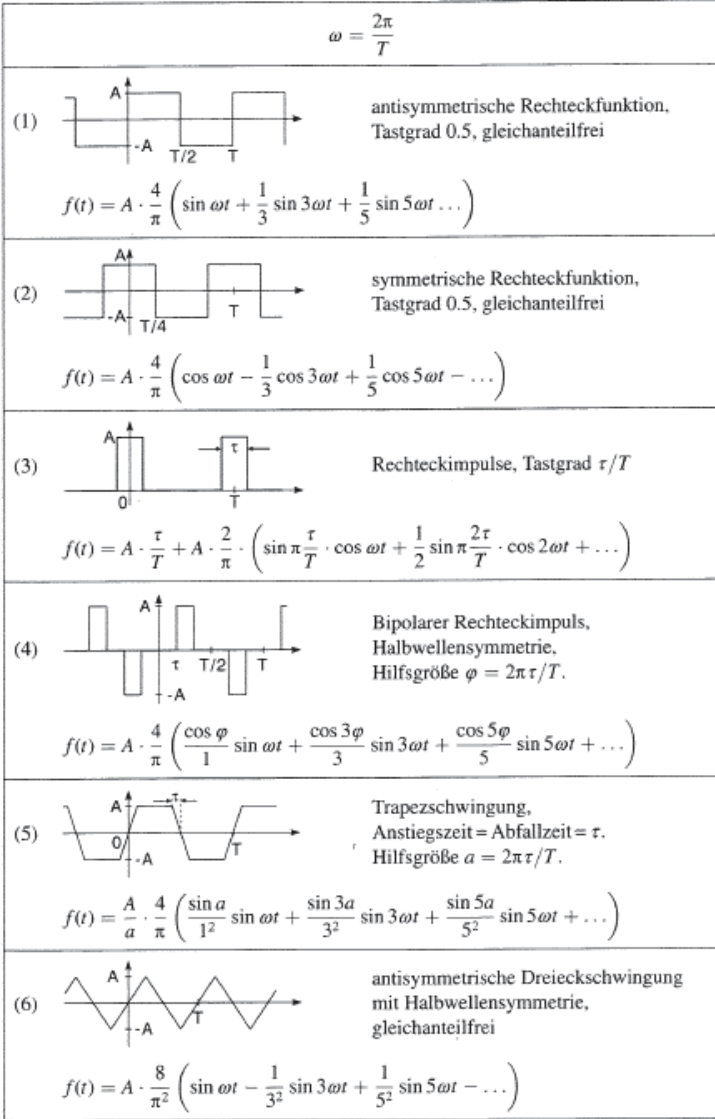
AC-Komponenten:

$k \neq 0$	( $A_k, B_k$ )-Koeffizienten	( $M_k, \varphi_k$ )-Koeffizienten	$c_k$ -Koeffizienten
$A_k =$	$A_k$	$M_k \cdot \cos(\varphi_k)$	$c_k + c_k^* = 2 \cdot \operatorname{Re}\{c_k\}$
$B_k =$	$B_k$	$-M_k \cdot \sin(\varphi_k)$	$j(c_k - c_k^*) = -2 \cdot \operatorname{Im}\{c_k\}$
$M_k =$	$\sqrt{A_k^2 + B_k^2}$	$M_k$	$2 \cdot  c_k $
$\varphi_k =$	$-\arctan\left(\frac{B_k}{A_k}\right)$	$\varphi_k$	$\arg\{c_k\}$
$c_k =$	$\begin{cases} (A_k - j \cdot B_k)/2 & k > 0 \\ (A_k + j \cdot B_k)/2 & k < 0 \end{cases}$	$\begin{cases} \frac{M_k}{2} \cdot e^{j\varphi_k} & k > 0 \\ \frac{M_k}{2} \cdot e^{-j\varphi_k} & k < 0 \end{cases}$	$c_k$

$$\begin{aligned} e^{ix} &= \cos x + i \sin x, \\ e^{-ix} &= \cos(-x) + i \sin(-x) = \cos x - i \sin x \end{aligned}$$

$$\cos x = \operatorname{Re}(e^{ix}) = \frac{e^{ix} + e^{-ix}}{2},$$

$$\sin x = \operatorname{Im}(e^{ix}) = \frac{e^{ix} - e^{-ix}}{2i}.$$



# Fouriertransformation

Fourier-Reihe

$$s(t) = \sum_{k=-\infty}^{\infty} c_k e^{j 2\pi k f_0 t}, \quad c_k = f_0 \int_{-T_0/2}^{T_0/2} s(t) e^{-j 2\pi k f_0 t} dt$$

periodisches Signal: diskretes Linienspektrum  
Summe einzelner Harmonischen bei Vielfachen von  $f_0$   
 $\rightarrow c_k$  enthält Amplitude und Phase der  $k$ -ten Harmonischen

$$S(f) = \lim_{f_0 \rightarrow 0} \left( \frac{c_k}{f_0} \right) \Rightarrow f_0 \hat{=} df, \quad k f_0 \hat{=} f \quad T_0 \rightarrow \infty$$

Fourier-Transformation

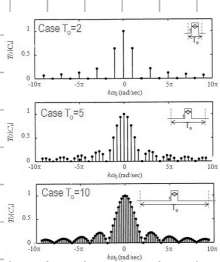
$$s(t) = \int_{-\infty}^{\infty} S(f) e^{j 2\pi f t} df \quad \text{or} \quad S(f) = \int_{-\infty}^{\infty} s(t) e^{-j 2\pi f t} dt$$

kontinuierliches Amplitudenspektrum

Summe (Integral) von Spektralkomponenten aller Frequenzen

$\rightarrow S(f)$  enthält Amplitude und Phase der Frequenzkomponente  $f$

$$\underline{S(f)} = \underbrace{|S(f)|}_{\text{Fourierspektrum}} \cdot \underbrace{e^{j \varphi(f)}}_{\text{Betragsspektrum}}$$



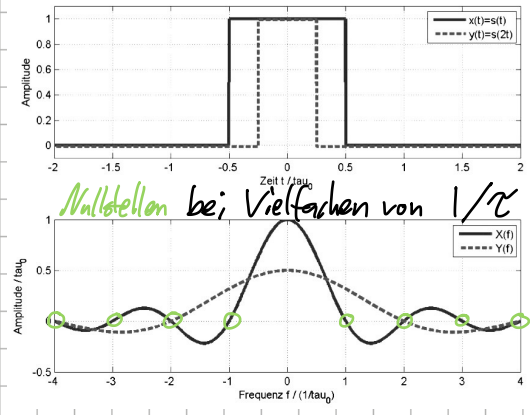
Zeit-Bandbreite-Produkt / Unschärferelation

$$\mathcal{F}\{s(at)\} = \int_{-\infty}^{\infty} s(at) e^{-j 2\pi f t} dt = \int_{-\infty}^{\infty} s(u) e^{-j 2\pi f \frac{u}{a}} \frac{1}{a} du$$

$$= \int_{-\infty}^{\infty} s(u) e^{-j 2\pi f \frac{u}{a}} \frac{1}{a} du = \frac{1}{|a|} \int_{-\infty}^{\infty} s(u) e^{-j 2\pi f \frac{u}{a}} du = \frac{1}{|a|} S\left(\frac{f}{a}\right)$$

$\Rightarrow$  Bandbreite und Dauer eines Pulssignals können nicht unabhängig voneinander gewählt werden

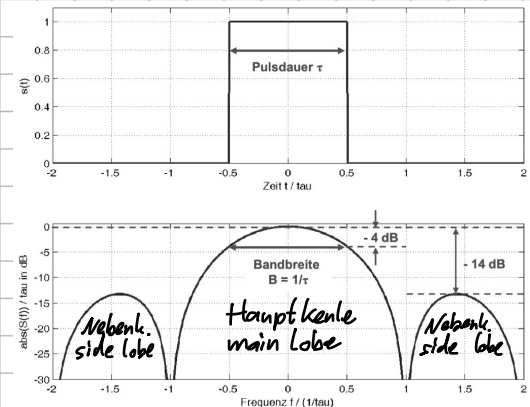
$\Rightarrow$  Zeit-Bandbreite-Produkt:  $\Delta t \cdot \Delta f \approx 1$



günstig:  
3dB-Bandbreite: 100 MHz  
 $\Rightarrow$  Pulse mit ca. 10 ns noch sichtbar



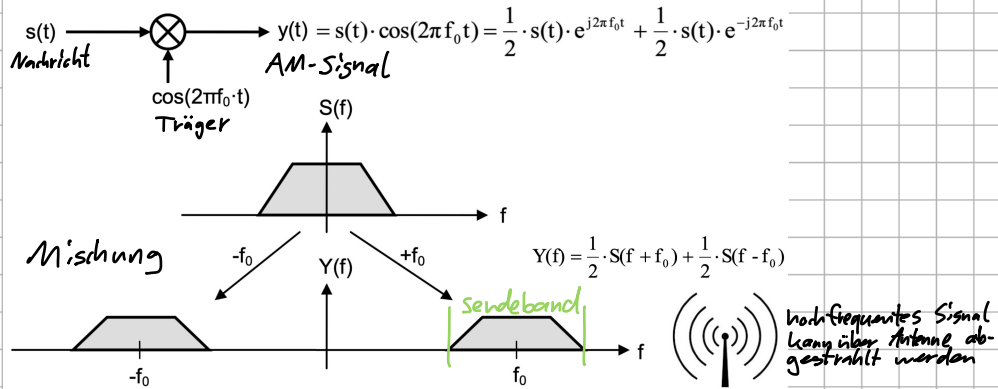
teuer  
3dB-Bandbreite: 4 GHz  
Pulse mit ca. 0.25 ns noch sichtbar



Extremform: Dirac/DC:

unendlich schneller Puls  $\Rightarrow$  unbesseeres Spektrum  
DC-Signal  $\Rightarrow$  unendlich schmale Linie bei  $f=0$

# Amplitudenmodulation (AM) mit Frequenzverschiebung



## DGL

DGL  $\rightarrow$  algebraische Gleichung

man darf jede Ableitung durch  $j2\pi f$  und jedes Integral durch  $1/(j2\pi f)$  auftreten

Ström-Spannung-Beziehung elektrischer Bauelemente:

$$\begin{aligned} U(t) &= R \cdot i(t) \\ i(t) &= C \frac{d}{dt} U(t) \\ u(t) &= L \frac{di(t)}{dt} \end{aligned} \Rightarrow \left\{ \begin{array}{l} \underline{U} = R \underline{I} \\ \underline{I} = C j2\pi f \underline{U} \\ \underline{U} = L j2\pi f \underline{I} \end{array} \right\} \Rightarrow \left\{ \begin{array}{l} \underline{Z}_R = R \\ \underline{Z}_C = 1/(j\omega C) \\ \underline{Z}_L = j\omega L \end{array} \right\}$$

Impedanz (komplexer Widerstand):

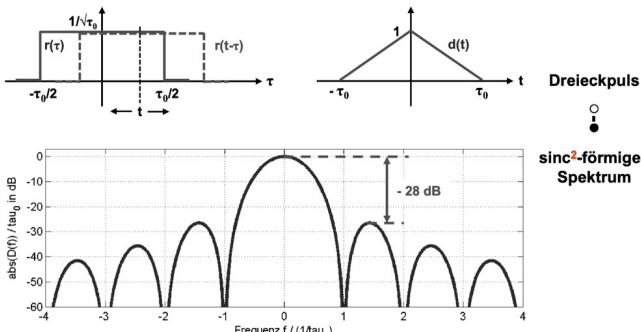
$$\underline{Z} = \underline{U}(t) / \underline{I}(t)$$

## Faltung

$$x(t) * y(t) = \int_{-\infty}^{\infty} x(\tau) \cdot y(t - \tau) d\tau \Rightarrow X(f) \cdot Y(f)$$

neutrales Element:  $\delta(t)$ , da  $\delta(t)^* x(t) = x(t)$

Faltung Rechteckpuls der Dauer  $\tau_0$  mit sich selbst



$$\text{rect} * \text{rect} = \int_{-\infty}^{\infty} \text{rect}(\tau) \text{rect}(t - \tau) d\tau = \begin{cases} 0 & t < -\tau_0 \\ \int_{-\tau_0/2}^{\tau_0/2} \frac{1}{\tau_0} d\tau & -\tau_0 \leq t \leq 0 \\ \int_{t-\tau_0/2}^{t+\tau_0/2} \frac{1}{\tau_0} d\tau & 0 < t \leq \tau_0 \\ 0 & t > \tau_0 \end{cases} = \begin{cases} 0 & t < -\tau_0 \\ \frac{1}{\tau_0}(\tau_0 + |t|) & -\tau_0 \leq t \leq \tau_0 \\ 0 & t > \tau_0 \end{cases} = \text{tri}$$

$$\mathcal{F}\{\text{tri}_3(f)\} = \mathcal{F}\{\text{rect} * \text{rect}_3(f)\} = \mathcal{F}\{\text{rect}_3(f)\} \cdot \mathcal{F}\{\text{rect}_3(f)\} = (\mathcal{F}\{\text{rect}_3(f)\})^2 = \text{sinc}^2(f)$$

## Symmetrien

$s(t)$  reell

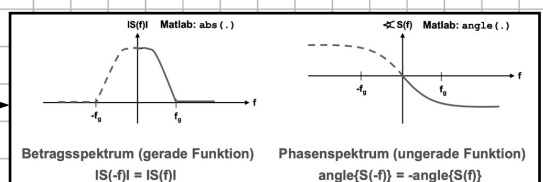
$$\Rightarrow S(-f) = S^*(f)$$

$s(t)$  reell & gerade

$\Rightarrow S(f)$  reell

$s(t)$  reell & ungerade

$\Rightarrow S(f)$  imaginär



## periodisches Signal

$$\sum_{k=-\infty}^{\infty} c_k e^{j2\pi k f t} \Rightarrow \sum_{k=-\infty}^{\infty} c_k \delta(f - kf_0)$$

periodische Signale besitzen also ein „Linien“-förmiges Amplitudendichtespektrum  
→ Dirac-Impulse anstatt Linien

Beweis:

$$\mathcal{F}\{s(t)\}(f) = \int_{-\infty}^{\infty} \left( \sum_{k=-\infty}^{\infty} c_k e^{j2\pi k f t} \right) e^{-j2\pi f t} dt = \sum_{k=-\infty}^{\infty} c_k \int_{-\infty}^{\infty} e^{j2\pi k f t} e^{-j2\pi f t} dt = \sum_{k=-\infty}^{\infty} c_k \mathcal{F}\{e^{j2\pi k f t}\}(f) = \sum_{k=-\infty}^{\infty} c_k \delta(f - kf_0) \quad \square$$

# Radio

AM = Amplituden Modulation

FM = Frequenz Modulation

Nötige Signalfrequenz:

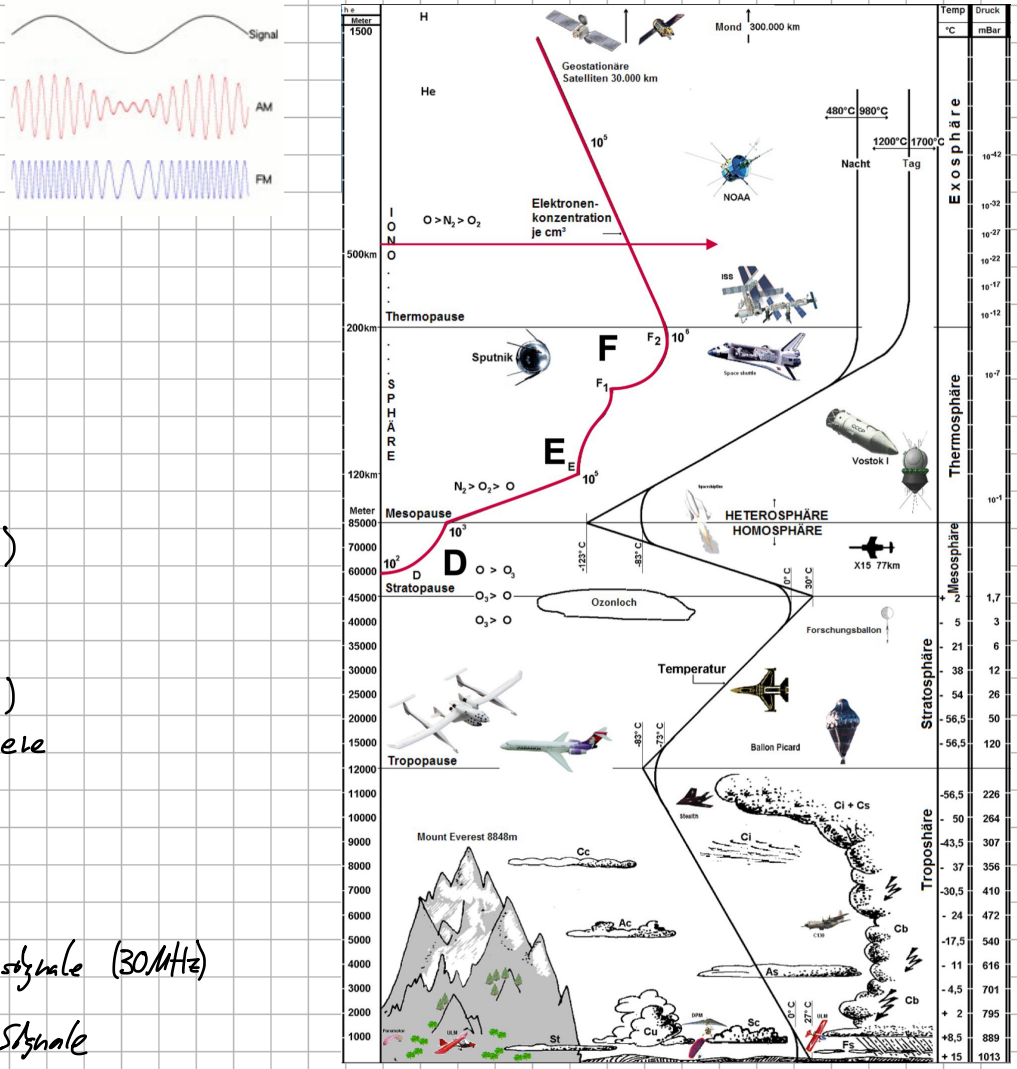
- Sprachsignal  $\approx 3 \text{ kHz}$
- Musik (Mono)  $\approx 25 \text{ kHz}$
- Analog-TV  $\approx 7 \text{ MHz}$

## Ausbreitung

- Bodenwelle (2D Ausbreitung)
  - vertikal polarisiert
  - Dämpfung  $\approx$  Frequenz
- Raumwelle (3D Ausbreitung)
  - beeinflusst durch Ionosphäre
  - Dämpfung  $\approx$  Frequenz<sup>2</sup>

## Ionosphäre

- F-Schicht: für Kurzwellensignale (30MHz)
- E-Schicht: bis 8MHz
- D-Schicht: für Langwellen Signale



# Zusammenfassung FT

wichtige Eigenschaften der Fourier-Transformation:

	<b>Zeitsignal</b>	<b>Fourier-Spektrum</b>
<b>Fourier-Transformation</b>	$s(t)$	$S(f) = \int_{-\infty}^{\infty} s(t) \cdot e^{-j2\pi f t} dt$
<b>Rücktransformation</b>	$s(t) = \int_{-\infty}^{\infty} S(f) \cdot e^{j2\pi f t} df$	$S(f)$
<b>Symmetrien</b>	$s(t)$ reell $s(t)$ reell, ungerade $\xrightarrow{\text{Bsp:}} \sin(t)$ $s(t)$ reell, gerade $\xrightarrow{\text{Bsp:}} \cos(t)$	$S(-f) = S^*(f)$ <small><math> S(-f)  =  S(f) </math> <math>\arg(S(-f)) = -\arg(S(f))</math></small> $S(f)$ imaginär $S(f)$ reell
<b>Linearität, Superposition</b>	$a \cdot s_1(t) + b \cdot s_2(t)$	$a \cdot S_1(f) + b \cdot S_2(f)$
<b>Dualität</b>	$S(t)$	$s(-f)$
<b>Zeitverschiebung</b>	$s(t-t_0)$	$S(f) \cdot e^{-j2\pi f \cdot t_0}$ <small>Belegzeichen bleibt gleich</small>
<b>Frequenzverschiebung</b>	$s(t) \cdot e^{j2\pi f_0 \cdot t}$	$S(f-f_0)$
<b>Zeit-Skalierung</b> <b>(Zeitdauer · Bandbreite <math>\approx 1</math>)</b>	$s(a \cdot t)$	$(1/ a ) \cdot S(f/a)$
<b>Differentiation</b>	$d^n/dt^n s(t)$	$(j2\pi f)^n \cdot S(f)$
<b>Integration</b>	$\int_{-\infty}^t s(\tau) d\tau$	$\frac{1}{j2\pi f} \cdot S(f) + \frac{1}{2} \cdot S(0) \cdot \delta(f)$
<b>Faltung</b>	$x(t)^*y(t)$	$X(f) \cdot Y(f)$
<b>Multiplikation</b>	$x(t) \cdot y(t)$	$X(f)^*Y(f)$
<b>Periodisches Signal</b>	$s(t) = \sum_{k=-\infty}^{\infty} c_k \cdot e^{j2\pi k f_0 t}$	$S(f) = \sum_{k=-\infty}^{\infty} c_k \cdot \delta(f - kf_0)$
<b>Energie (Parseval)</b>	$E_n = \int_{-\infty}^{\infty} s^2(t) dt$	$E_n = \int_{-\infty}^{\infty}  S(f) ^2 df$

wichtige Fourier-Korrespondenzen:

	<b>Zeitbereich</b>	<b>Frequenzbereich</b>
<b>Dirac-Impuls</b>	$\delta(t)$	1
<b>DC-Signal</b>	1	$\delta(f)$
<b>Rechteckpuls</b> <b>(Dauer <math>\tau</math>)</b>	$s(t) = \begin{cases} 1 &  t  \leq \tau/2 \\ 0 &  t  > \tau/2 \end{cases}$	$S(f) = \tau \cdot \frac{\sin(\pi f \tau)}{\pi f \tau}$
<b>Exponentialfunktion</b> <b>(mit Zeitkonstante <math>\tau</math>)</b>	$s(t) = \begin{cases} (1/\tau) \cdot e^{-t/\tau} & t \geq 0 \\ 0 & t < 0 \end{cases}$	$S(f) = \frac{1}{1 + j 2\pi f \tau}$
<b>cos-Signal</b>	$s(t) = \cos(2\pi f_0 t)$	$S(f) = (1/2) \cdot \delta(f+f_0) + (1/2) \cdot \delta(f-f_0)$
<b>sin-Signal</b>	$s(t) = \sin(2\pi f_0 t)$	$S(f) = (j/2) \cdot \delta(f+f_0) - (j/2) \cdot \delta(f-f_0)$

# LTI - Systeme

nicht-lineare Systeme generieren neue Frequenzkomponenten

LTI = Linear, Time-Invariant

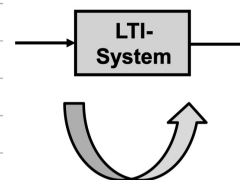
Stabilität: zweckmässig: Bounded Input  $\Rightarrow$  Bounded Output  
 $|x(t)| \leq A < \infty \Rightarrow |y(t)| \leq B < \infty$  mit  $A, B > 0$

Impulsantwort  $h(t)$ : Antwort auf Anregung mit allen Frequenzkomponenten (Dirac)

beschreibt LTI-System vollständig, man kann mit  $h(t)$  Ausgangssignal für beliebiges Eingangssignal berechnen:

Ausgangssignal  $y(t)$ :

$$x(t) = x(t) * \delta(t) \\ = \int_{-\infty}^{\infty} x(\tau) \delta(t-\tau) d\tau$$



$$y(t) = x(t) * h(t) \\ = \int_{-\infty}^{\infty} x(\tau) h(t-\tau) d\tau$$

MATLAB: `y = conv(x,h)`

Stossantwort  $h(t) = f(\delta(t))$  bestimmen

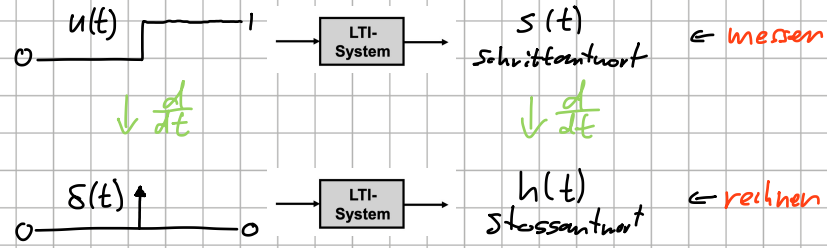
Schrittantwort  $s(t) = f(u(t))$  messen (einfacher zu messen) und ableiten:

$$s(t) = u(t) * h(t)$$

$$= \int_{-\infty}^{\infty} u(t-\tau) h(\tau) d\tau$$

$$= \int_0^t h(\tau) d\tau$$

$$\Rightarrow h(t) = \frac{d}{dt} s(t)$$



Fourier-Spektrum des Ausgangssignal bestimmen

$$x(t) \xrightarrow{\text{LTI-System}} y(t) = x(t) * h(t)$$

$$H(f) = \mathcal{F}\{h(t)\}$$

$$X(f) \xrightarrow{\otimes} Y(f) = X(f) \cdot H(f)$$

Frequenzgang

Frequenzgang:  $H(f) = \frac{Y(f)}{X(f)}$

Amplitudengang:  $|H(f)| = \frac{|Y(f)|}{|X(f)|}$

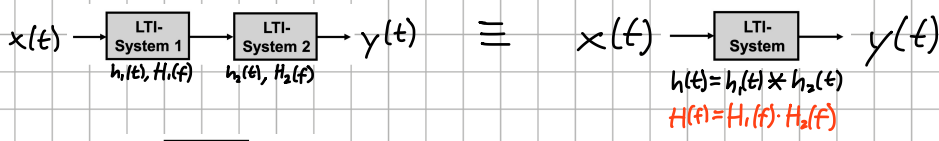
Phasengang:  $\varphi_H(f) = \varphi_Y(f) - \varphi_X(f)$

Frequenzgang messen

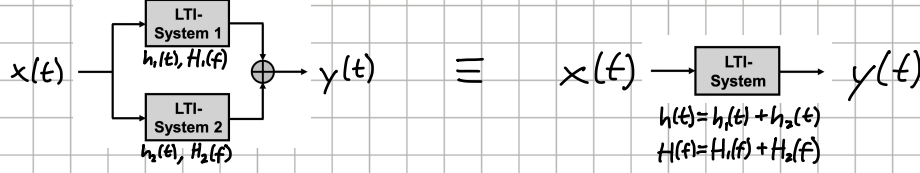
$\cos(2\pi f_i t)$  mit  $A = 1$  anlegen und  $|H(f_i)| = |Y(f_i)|$ ,  $\varphi_H(f_i) = \varphi_Y(f_i)$  ablesen

# Zusammensetzung von LTI-Systemen

Seriell (:



Parallel (:



## Faltung numerisch

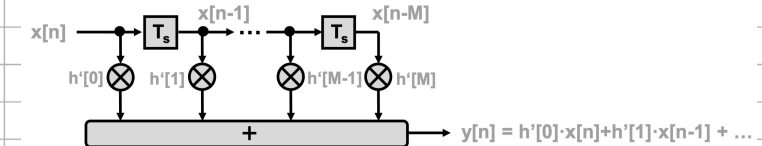
Voraussetzung: Stossantwort  $h(t)$  kausal und endlich lang (Finite Impulse Response  $\rightarrow$  FIR-Filte)

$$y(t) = \int_0^{MT_s} h(\tau) \cdot x(t-\tau) d\tau$$

$$y(nT_s) \approx \sum_{m=0}^M h(mT_s) x(nT_s - mT_s) T_s$$

$$y[n] \approx \sum_{m=0}^M h[m] x[n-m] T_s = \boxed{\sum_{m=0}^M h'[m] x[n-m]} \quad \text{mit} \quad h'[m] = h[m] T_s$$

## Blockschaubild



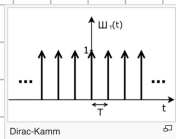
# Digitale Signale

## Abläufung

Quintessenz: falls  $f_s \geq 2f_g \Rightarrow$  Signal rekonstruierbar

Dirac-Kamm:

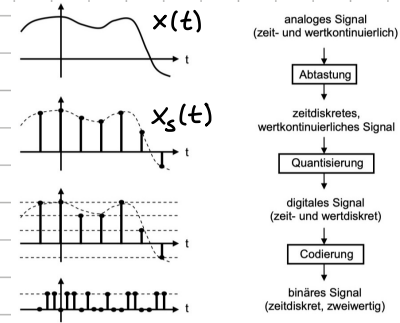
$$\mathbb{U}_T(t) = \sum_{n=-\infty}^{\infty} \delta(t-nT)$$



→ periodisch, lässt sich als Fourierreihe darstellen:

$$C_k = \frac{1}{T} \int_{-T/2}^{T/2} \mathbb{U}(t) e^{-j2\pi \frac{k}{T} t} dt = \frac{1}{T} \int_{-T/2}^{T/2} \sum_{n=-\infty}^{\infty} \delta(t-nT) e^{-j2\pi \frac{k}{T} t} dt = \frac{1}{T} \int_{-T/2}^{T/2} \delta(t) e^{-j2\pi \frac{k}{T} t} dt = \frac{1}{T}$$

$$\mathbb{U}_T(t) = \sum_{n=-\infty}^{\infty} C_k e^{j2\pi \frac{k}{T} t} = \frac{1}{T} \sum_{k=-\infty}^{\infty} e^{j2\pi \frac{k}{T} t}$$



somit lässt sich ideal abgetragenes Signal schreiben als:

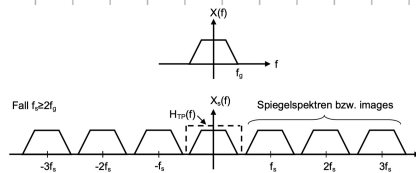
$$x_s(t) = x(t) \mathbb{U}_{T_s}(t) = x(t) \sum_{n=-\infty}^{\infty} \delta(t-nT_s) = \sum_{n=-\infty}^{\infty} x(nT_s) \delta(t-nT_s)$$

mit  $\mathbb{U}_{T_s}(t) = \frac{1}{T_s} \sum_{n=-\infty}^{\infty} e^{jn2\pi f_s t}$  ergibt sich für das Spektrum:

$$X_s(t) = \frac{1}{T_s} \sum_{n=-\infty}^{\infty} X(f) e^{jn2\pi f_s t}$$

•

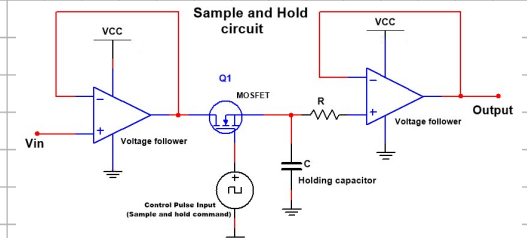
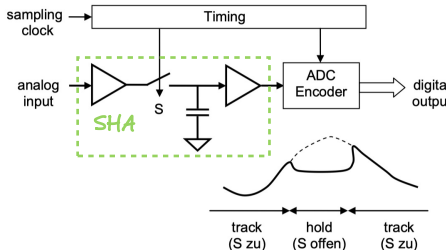
$$X_s(f) = \frac{1}{T_s} \sum_{n=-\infty}^{\infty} X(f-nf_s)$$



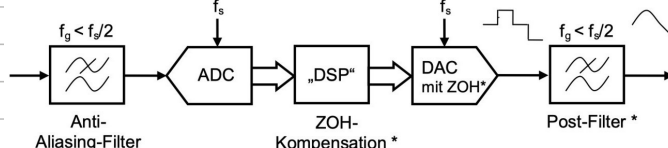
$X_s(f)$  besteht b.s auf Normierung aus Originalspektrum sowie Kopien (Spiegel spektrum / Images) bei ganzzahligen Vielfachen der Abtastfrequenz  $f_s$

Schaltung für Abläufung: SHA (Sample-and-Hold-Amplifier)

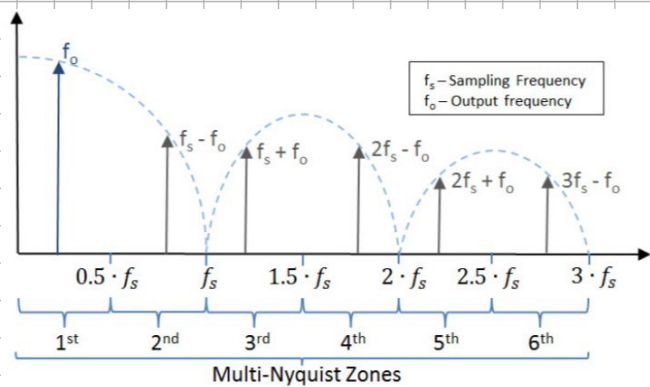
→ meist in ADC integriert:



Digitalisierungssystem:



ZOH-Kompensation ist nötig, weil Durchlassbereich des ZOH-Filters nicht konstant ist (sinc-förmig, siehe Abbildung des Spektrums rechts)



## Aliasing

falls  $f_s < 2f_g$

$\Rightarrow$  periodisch rezipierte Spektralannteile überlappen sich

$\Rightarrow$  Originalspektrum kann nicht fehlerfrei, sondern nur noch mit nichtlinearen Verzerrungen rekonstruiert werden

kritische Abtastung:  $f_s = 2f_g$

effektiv wurden höhere Frequenzkomponenten in tiefere reflektiert

$\rightarrow$  Bsp: Räder eines vorwärtsfahrenden Autos drehen im Film manchmal rückwärts

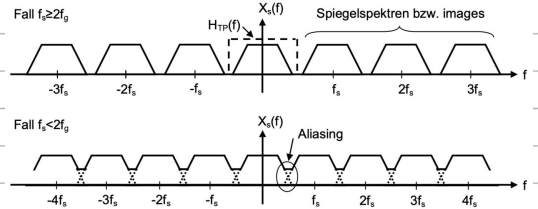
um Aliasing zu verhindern  $\Rightarrow$  Signal muss auf erstes Nyquistband begrenzt werden

Schaltung um Aliasing zu unterdrücken: Anti-Aliasing-Tiefpassfilter

im interessierenden Frequenzband  $[0, f_g]$  dürfen keine Aliase entstehen

$\Rightarrow$  Sperrbereich  $\hat{=} [f_s - f_g, \infty)$  mit Sperrdämpfung  $>$  Dynamic Range (DR)

$\Rightarrow$  Breite des Übergangsbereichs  $[f_g, f_s - f_g]$  hängt von  $f_s$  ab



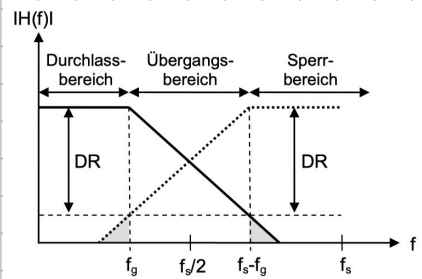
je höher Abtastrate  $f_s$  bei kritischer Abtastrate  $2f_g$  gewählt wird, desto steilflankiger (und damit anwendbarer) muss das Filter sein

umgedreht kann Filter einfacher ausgelegt werden, wenn  $f_s$  um einiges grösser als  $2f_g$  gewählt wird

$\rightarrow$  dann steigt aber auch der Rechenaufwand, da Abtastwerte dann mit der höheren Rate verarbeitet werden müssen

man wählt  $f_s$  typischerweise im Bereich  $[2.5f_g, 4f_g]$

falls analoges Eingangssignal darhalb  $f_s - f_g$  XdB kleinere Komponenten als im interessierenden Bereich  $f < f_g$  besitzt kann Anforderung an Sperrdämpfung d. Filters von DR auf DR-X gekennzeichnet werden



## Rekonstruktion

$$X(f) = X_s(f) T_s H_{TP}(f) \text{ wobei } H_{TP}(f) = \begin{cases} 1 & |f| \leq f_s/2 \\ 0 & |f| > f_s/2 \end{cases} \Rightarrow \int_{-f_s/2}^{f_s/2} e^{j2\pi f t} df = \frac{\sin(\pi f_s t)}{\pi t} = f_s \frac{\sin(\pi f_s t)}{\pi f_s t}$$

$$x(t) = x_s(t) * \frac{\sin(\pi f_s t)}{\pi f_s t}$$

$$= \sum_{-\infty}^{\infty} x(nT_s) \frac{\sin(2\pi \frac{f_s}{2}(t-nT_s))}{2\pi \frac{f_s}{2}(t-nT_s)}$$

Abtasttheorem

$\Rightarrow$  Jedes mit  $f_g < f_s/2$  frequenzbegrenzte Signal  $x(t)$  kann mit Hilfe von sinc-Interpolationsfunktionen fehlerfrei aus seinen Abtastwerten  $x(nT_s)$  wiederhergestellt werden

Hardwares:

nur approximativ möglich: meisten DACs halten am Ausgang einfach diskreten Stützwert während ganzem Abtastintervall  $T_s$  fest, um Überschwingungen zu vermeiden:

Halteglied 0. Ordnung (zero order hold (ZOH)):

$$h_{ZOH}(t) = \begin{cases} 1 & 0 \leq t \leq T_s \\ 0 & \text{sonst} \end{cases}$$

$$H_{ZOH}(f) = T_s \frac{\sin(\pi f/T_s)}{\pi f/T_s} e^{-j\pi f/T_s}$$

Stossantwort des ZOH-Filters

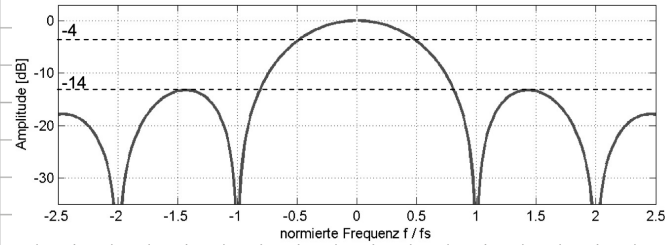
Übertragungsfunktion bzw. Spektrum d. ZOH-Filters

um Ecken zu glätten bzw. hohe Frequenzanteile ganz anzufiltern, muss nach ein Post-Filter nachgeschaltet werden

anders als beim idealen TP-Filter ist der Durchlassbereich beim ZOH also nicht konstant

$\rightarrow$  kann kompensiert werden mit einem F/F:

- Vorkompensation (digital)
- Nachkompensation (analog)



## Quantisierung

lineare Quantisierung:  $\Delta = \frac{A}{2^W}$

A: Aussteuerbereich (total möglicher Wertebereich des Eingangssignals)  
W: Wortlänge

resultierende Intervalle werden numeriert bzw. codiert

→ negative Werte mit Zer-Komponente

Rundungsfehler (der nicht mehr rückgängig gemacht werden kann):

$$\varepsilon(nT_s) = x(nT_s) - x_q(nT_s) \in [-\Delta/2, \Delta/2]$$

falls die meisten  $x(nT_s) \gg \Delta$  treffen die folgenden Annahmen zu:

- die einzelnen  $\varepsilon(nT_s)$  sind unkorrelierte, auf  $[-\Delta/2, \Delta/2]$  uniform verteilte Zufallsgrößen
- die  $\varepsilon(nT_s)$  und die kontinuierlichen Abtastwerte  $x(nT_s)$  sind unkorreliert

Leistung des Quantisierungsfehlers

$$P_\varepsilon = E[\varepsilon^2] = \int_{-\Delta/2}^{\Delta/2} \varepsilon^2 \frac{1}{\Delta} d\varepsilon = \frac{\Delta^2}{12}$$

Signal-to-Noise-Ratio [dB]

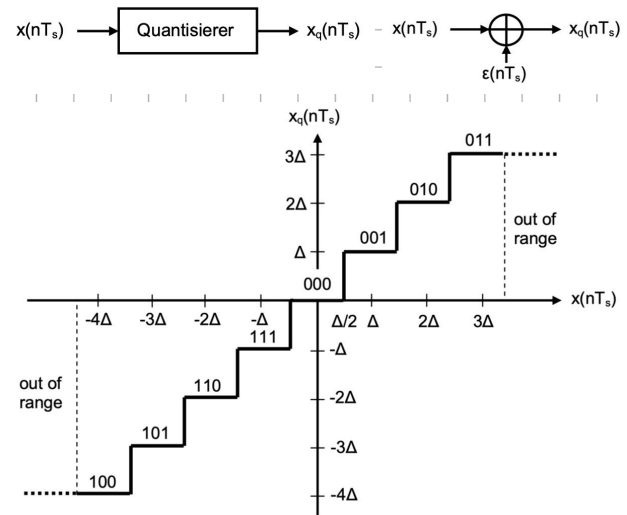
Verhältnis der Leistung des Signals am Quantisierungseingang zur Leistung des Quantisierungsfehlers bzw. des Quantisierungsrauschen

$$SNR = 10 \log_{10} (P_x / P_\varepsilon) = 10 \log_{10} (12 \cdot 2^W \cdot P_x / A^2) = 10 \log_{10}(4) \cdot W + 10 \log_{10} (12 P_x / A^2) \approx 6W + K$$

→ mit jedem Bit wird SNR um 6dB erhöht

→ K von  $P_x$  abhängig: je klarer Signalpegel relativ zum Aussteuerbereich ist, desto kleiner SNR

→ selbst wenn ADC voll ausgenutzt wird, ist K umgekehrt proportional zu Crest-Faktor (Verhältnis von Spitzenwert  $A/2$  zu Effektivwert  $\sqrt{P_x}$ ) des Signals  $x(t)$



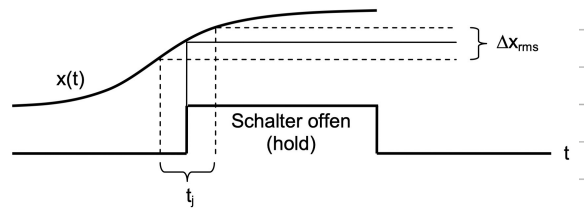
Übersteuern des Quantisierers oder ADC unbedingt vermeiden, weil die entstehenden Oberwellen störende Aliasfrequenzen produzieren können!

## Aperture and Clock Jitter

weitere Rauschquellen (neben Quantisierung):

- Aperture Jitter:  
durch Nichtidealitäten des SHA
- Clock Jitter:  
durch Sampling Clock mit Jitter und/oder nichtideale Clock-Zuführungen

je schneller sich Signal innerhalb Jitterzeit  $t_j$  ändert, desto grösser ist statistische Fehler  $\Delta x_{rms}$  bzw. das resultierende Rauschen



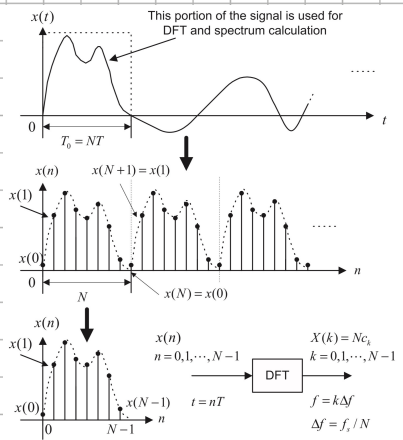
# Diskrete Fourier Transformation

ideal abgetastetes Signal:

$$x_s(t) = x(t) \llcorner_{T_s}(t) = x(t) \sum_{n=-\infty}^{\infty} \delta(t - nT_s) = \sum_{n=-\infty}^{\infty} x(nT_s) \delta(t - nT_s) = \sum_{n=-\infty}^{\infty} x[n] \delta(t - nT_s)$$

$$X_s(f) = \mathcal{F} \left\{ \sum_{n=-\infty}^{\infty} x(nT_s) \delta(t - nT_s) \right\} (f) = \sum_{n=-\infty}^{\infty} x(nT_s) e^{-j2\pi f n T_s} = \sum_{n=-\infty}^{\infty} x[n] e^{-j2\pi f n T_s}$$

ab hier nur noch abgetastetes Signal, daher wird Subskript «s» weggelassen



## Diskrete Fourier Transformation

aus  $N$  Abtastwerten können maximal  $N$  Frequenzanteile bestimmt werden:  $f = \frac{m f_s}{N}$ ,  $m = 0, \dots, N-1$

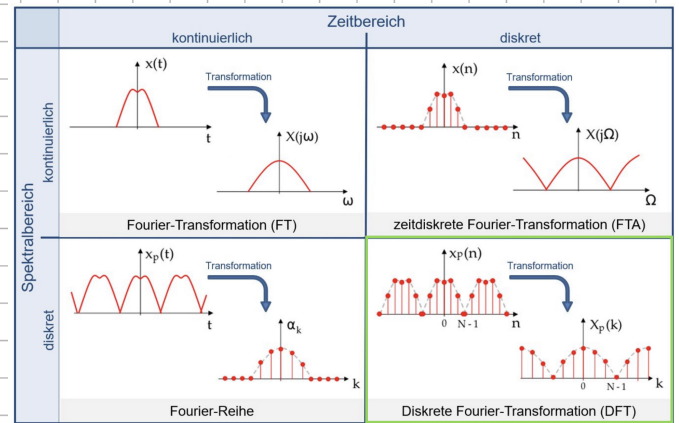
DFT:

$$X[m] = \sum_{n=0}^{N-1} x[n] e^{-j2\pi \frac{m}{N} n T_s} = \sum_{n=0}^{N-1} x[n] e^{-j\frac{2\pi}{N} m n}$$

IDFT:

$$x[n] = \frac{1}{N} \sum_{m=0}^{N-1} X[m] e^{j\frac{2\pi}{N} m n}$$

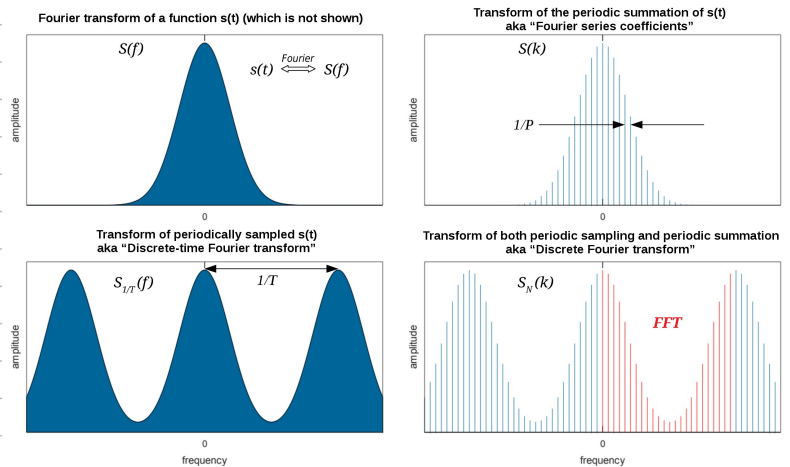
## Eigenschaften



- DFT berechnet aus  $N$  Abtastwerten in Zeitfenster der Länge  $T_{DFT} = N T_s$   $N$  komplexe Spektralwerte im Frequenzbereich  $[0, f_s]$   
⇒ Frequenzauflösung  $\Delta f = f_s / N = 1 / T_{DFT}$
- für reelle Signale nur erste Hälfte des DTF-Spektrums interessant, dann es gilt die Symmetrie  $X^*[N-m] = X[m]$
- da DTF-Spektrum diskret ⇒ Zeitsignal periodisch  
→ man berechnet also das Spektrum d. periodisch fortgesetzten, diskreten Zeitfenstersignal  $x_N[n]$ :  
$$x_{Np}[n] = \dots, \{x_N[n+N]\}, \{x_N[n]\}, \{x_N[n-N]\}, \dots \rightarrow X[m] / N$$
- falls Fensterlänge unpassend gewählt wird, kann es aufgrund d. periodischen Fortsetzung zu Sprungstellen kommen, die im urspr. Signal n. vorhanden waren  
→ resultierendes Spektrum weist zusätzliche, auslaufende Spektrallinien auf (leakage)

## Matrizenbeschreibung

$$\begin{bmatrix} X[0] \\ \vdots \\ X[N-1] \end{bmatrix} = \begin{bmatrix} 1 & 1 & \dots & 1 \\ 1 & e^{-j\frac{2\pi}{N}} & \dots & e^{-j\frac{2\pi}{N}(N-1)} \\ \vdots & \vdots & \ddots & \vdots \\ 1 & e^{-j\frac{2\pi}{N}(N-1)} & \dots & e^{-j\frac{2\pi}{N}(N-1)^2} \end{bmatrix} \begin{bmatrix} X[0] \\ \vdots \\ X[N-1] \end{bmatrix}$$



Approximation d. Fourierreihe:

$x(t)$  sei periodisch mit Grundfrequenz  $f_0$

$N$  samples von einer Periode  $T_0 \Rightarrow f_s = N/f_0$

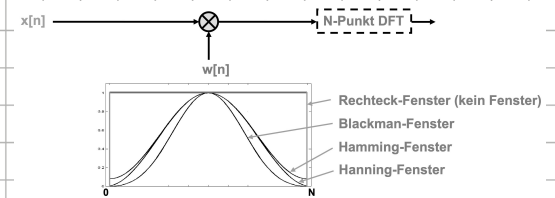
$$c_m = \frac{X[m]}{N} \quad \text{für } m = 0, \dots, N/2$$

Depiction of a Fourier transform (upper left) and its periodic summation (DTFT) in the lower left corner. The spectral sequences at (a) upper right and (b) lower right are respectively computed from (a) one cycle of the periodic summation of  $s(t)$  and (b) one cycle of the periodic summation of the  $s(nT)$  sequence. The respective formulas are (a) the Fourier series integral and (b) the DFT summation. Its similarities to the original transform,  $S(f)$ , and its relative computational ease are often the motivation for computing a DFT sequence.

## Fensterung

Gewichtung von  $x[n]$  mit einem auslaufenden Fenster (window)  $w[n]$ , um Leakage zu reduzieren:

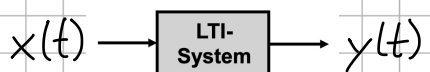
$$x_w[n] = x[n] \cdot w[n]$$



## FFT

$N \log_2(N)$  statt  $N^2$  komplexe Multiplikationen

# Übertragungsfunktion



DGL eines Systems:

$$a_n y^{(n)}(t) + \dots + a_1 y'(t) + a_0 y(t) = b_m x^{(m)}(t) + \dots + b_1 x'(t) + b_0 x(t)$$

Laplace-Transformation (Anfangswert  $t = 0$ ,  $s = \sigma + \omega j$ ):

$$a_n s^n Y(s) + \dots + a_1 s Y(s) + a_0 Y(s) = b_m s^m X(s) + \dots + b_1 s X(s) + b_0 X(s)$$

Übertragungsfunktion

$$H(s) = \frac{Y(s)}{X(s)} = \frac{b_m s^m + \dots + b_1 s + b_0}{a_n s^n + \dots + a_1 s + a_0}$$

$\rightarrow (b, a)$ -Systemkoeffizienten legen Systemverhalten vollständig fest

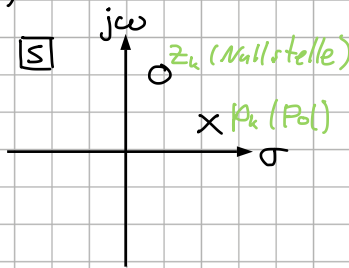
$H(s) = B(s)/A(s)$  ist gebrochen rationale Funktion, wobei Zählergrad  $m \leq$  Nennergrad  $n$

$B(s)$  hat  $m$  Nullstellen  $z_k$  (Nullstellen UTF)

$A(s)$  hat  $n$  Nullstellen  $p_k$  (Polstellen UTF)

Pol-Außestellen-Darstellung

$$H(s) = \frac{b_m}{a_n} \cdot \frac{(s-z_1)(s-z_2)\dots(s-z_m)}{(s-p_1)(s-p_2)\dots(s-p_n)}$$



$\rightarrow$  Pole & Nullstellen legen Systemverhalten fest bis auf Gain-Konstante  $b_m/a_n$

falls  $b_n$  &  $a_n$  alle reell  $\Rightarrow z_k$  und  $p_k$  entweder reell oder in kompl. konj. Paar

## Stabilität

UTF ist stabil wenn Pole von  $H(s)$  in linker Halbebene (LHE) liegen

Beweis für  $m < n$ :

$$H(s) = \sum_{k=1}^n \frac{c_k}{(s-p_k)} \stackrel{\text{imme}}{\underset{\text{LT}}{\Rightarrow}} h(t) = \sum_{k=1}^n c_k u(t) e^{p_k t}$$

$$|h(t)| \leq \sum_{k=1}^n |c_k| u(t) e^{p_k t} = \sum_{k=1}^n |c_k| u(t) e^{\Re(p_k) t}$$

$|h(t)| < \infty$  wenn alle  $\Re(p_k) < 0$

$\Rightarrow$  Frequenzgang  $H(f) = H(s=j2\pi f)$  existiert

## Frequenzgang

$$H(f) = H(s=j2\pi f) = H(s=j\omega), \text{ d.h. } \sigma = 0$$

$$H(\omega) = K \cdot \frac{(j\omega - z_1)(j\omega - z_2)\dots(j\omega - z_m)}{(j\omega - p_1)(j\omega - p_2)\dots(j\omega - p_n)}$$

$\rightarrow$  je näher ein Pol  $p_k$  bei  $j\omega$ -Achse, desto grösser die Überhöhung im Amplitudengang  
 $\rightarrow$  Nullstellen auf  $j\omega$ -Achse ergeben Nullstellen im Amplitudengang

# Faktorisierung von $H(s)$ in Teil-UTF 1. und 2. Ordnung

Normierung auf Echfrequenz  $\omega/\omega_0$  bzw.  $s/\omega_0$

$m = m_0 + m_1 + 2m_2$  Nullstellen d. UTF  $H(s)$ , davon  $m_0$  bei  $s=0$ ,  $m_1$  reell,  $2m_2$  komplex  
 $n = n_0 + n_1 + 2n_2$  Polstellen d. UTF  $H(s)$ , davon  $n_0$  bei  $s=0$ ,  $n_1$  reell,  $2n_2$  komplex

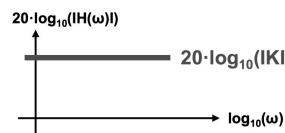
$$H(s) = K s^{m_0 - n_0} \frac{\prod_{k=1}^{m_1} \left(1 + \frac{s}{\omega_{z_k}}\right)}{\prod_{k=1}^{n_1} \left(1 + \frac{s}{\omega_{p_k}}\right)} \frac{\prod_{k=1}^{m_2} \left(1 + \frac{s}{q_{z_k} \omega_{z_k}} + \frac{s^2}{\omega_{z_k}^2}\right)}{\prod_{k=1}^{n_2} \left(1 + \frac{s}{q_{p_k} \omega_{p_k}} + \frac{s^2}{\omega_{p_k}^2}\right)}$$

UTF ist also in Teil-UTF zerlegbar:

Konstante  $H(s) = K$

Amplitudengang:  $20 \cdot \log_{10}(|K|)$

Phasengang:  $0^\circ$  wenn  $K > 0$  sonst  $180^\circ$

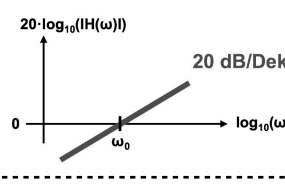


$$H(s) = K$$

NS im Ursprung (Differentiator)  $H(s) = s/\omega_0$

Amplitudengang: 20 dB / Dekade

Phasengang: konstant  $90^\circ$

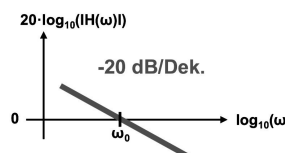


$$H(s) = \frac{s}{\omega_0} = Ts$$

Pol im Ursprung (Integrator)  $H(s) = 1/(s/\omega_0)$

Amplitudengang: -20 dB / Dekade

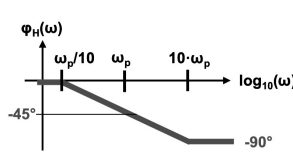
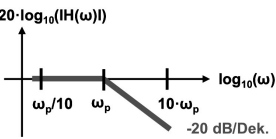
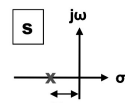
Phasengang: konstant  $-90^\circ$



$$H(s) = \frac{1}{s/\omega_0} = \frac{1}{Ts}$$

Pol 1. Ordnung (PT1-Glied)

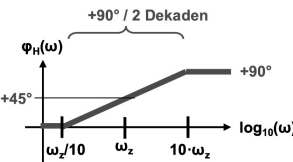
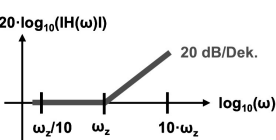
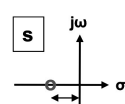
$$H(s) = \frac{1}{1 + \frac{s}{\omega_p}}$$



$$H(s) = \frac{1}{1 + \frac{s}{\omega_p}} = \frac{1}{Ts + 1}$$

NS 1. Ordnung (PD-Glied)

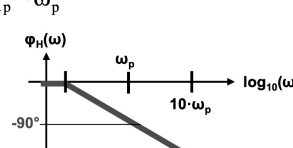
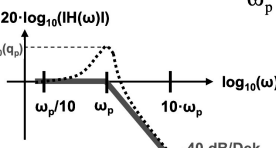
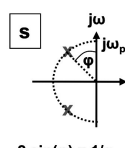
$$H(s) = 1 + \frac{s}{\omega_z}$$



$$H(s) = 1 + \omega_z s = Ts + 1$$

Pol 2. Ordnung (PT2-Glied)

$$H(s) = \frac{1}{\frac{s^2}{\omega_p^2} + \frac{s}{\omega_p \cdot \omega_p} + 1}$$



$$H(s) = \frac{1}{(\frac{s}{\omega_p})^2 + \frac{1}{\omega_p} \frac{s}{\omega_p} + 1}$$

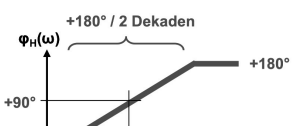
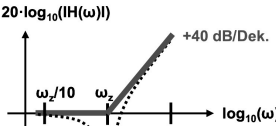
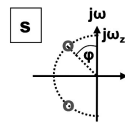
$$H(j\omega_p) = \frac{q_p}{j} = -j q_p \rightarrow 20 \log(q_p)$$

$$= \frac{\omega_p^2}{s^2 + \frac{1}{\omega_p} s \omega_p + \omega_p^2}$$

$$= \frac{\omega_p^2}{s^2 + 2\xi \omega_p s + \omega_p^2}$$

NS 2. Ordnung

$$H(s) = \frac{s^2}{\omega_z^2} + \frac{s}{\omega_z \cdot \omega_z} + 1$$



$$H(s) = (\frac{s}{\omega_z})^2 + \frac{1}{\omega_z} \frac{s}{\omega_z} + 1$$

$$H(j\omega_z) = \frac{j}{q_z} = j \frac{1}{q_z} \rightarrow -20 \log(q_z)$$

$$= \frac{s^2 + \frac{1}{\omega_z} s \omega_z + \omega_z^2}{\omega_z^2}$$

$$= \frac{s^2 + 2\xi \omega_z s + \omega_z^2}{\omega_z^2}$$

## Minimalphasensysteme

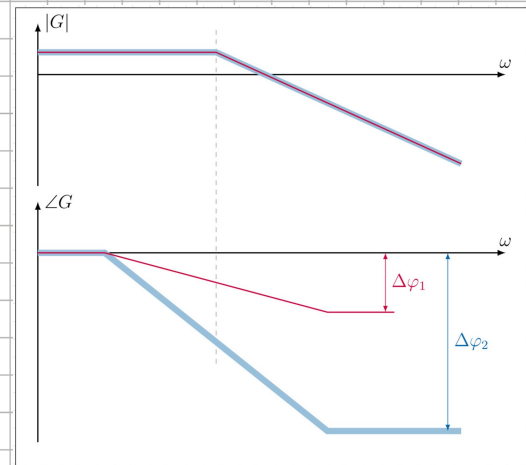
Phasenlaufzeit:  $T_p(f) = -\frac{\arg(f)}{2\pi \cdot f}$

Gruppenlaufzeit:  $T_g(f) = -\frac{1}{2\pi} \cdot \frac{d\arg(f)}{df}$

→ Zeitverzögerung der Enveloppe eines Signals, das aus mehreren Frequenzkomponenten besteht

### Definition Minimalphasensystem

ein kontinuierliches Zeitsystem heißt minimalphasig, falls der Phasenbereich im Vergleich zu jedem anderen System mit derselben Amplitudengangantwort minimal ist



Nullstellen in RHE „kehrt“ Einfluss auf Amplitudengang  $|H(\omega)|$  aber auf Phasengang (LTI-System nicht minimalphasig)

Minimalphasensysteme haben keine Nullstellen in RHE!

Phasengang  $\arg(f)$  nimmt langsamer ab als bei Nicht-Minimalphasensystemen, sie haben höchst-mögliche Gruppenlaufzeit  $T_g(f)$  (Zeitverzögerung!)

asymptotisches Verhalten:

- Amplitudengang:  $|H(\omega \rightarrow \infty)|$  fällt mit  $(m-n) \cdot 20 \text{ dB}$  pro Dekade
- Phasengang:  $\arg(\omega \rightarrow \infty) = (m-n) \cdot 90^\circ$  jede NS trägt  $+\pi/2$  bei; jeder Pol trägt  $-\pi/2$  bei

Generell können Nicht-Minimalphasensysteme in ein Allpass und ein Minimalphasensystem aufgeteilt werden

bei kausalem Systemen ist  $\Delta\varphi$  negativ!